

**Universidad Austral de Chile**  
**INSTITUTO DE ACÚSTICA**  
**Proyecto acústico - Acondicionamiento acústico**  
**ACUS213**

**“Acondicionamiento acústico de salas de reuniones y sala de ensayo, Campus Los Canelos, UACH”**

FECHA DE ENTREGA: 29 DE NOVIEMBRE DE 2023

**Profesor:**  
Felipe Figueroa

**Estudiante:**  
Daniela Narváez  
Rafael Hayde

# Índice

<b>1</b>	<b>Introducción</b>	<b>4</b>
<b>2</b>	<b>Objetivos</b>	<b>4</b>
<b>3</b>	<b>Antecedentes del recinto</b>	<b>5</b>
<b>4</b>	<b>Planificación</b>	<b>8</b>
4.1	Plan de trabajo . . . . .	8
4.2	Cronograma . . . . .	9
<b>5</b>	<b>Metodología</b>	<b>10</b>
5.1	Medición de dimensiones del recinto . . . . .	10
5.2	Medición de parámetros acústicos del recinto . . . . .	10
5.2.1	Ruido de fondo . . . . .	11
5.2.2	Tiempo de reverberación . . . . .	11
<b>6</b>	<b>Modelación</b>	<b>13</b>
6.1	Modelación en SketchUp . . . . .	13
6.2	Modelación en EASE . . . . .	14
<b>7</b>	<b>Recomendaciones de parámetros acústicos</b>	<b>16</b>
7.1	Salas de reuniones . . . . .	16
7.2	Sala de ensayo . . . . .	16
<b>8</b>	<b>Resultados del estado actual de los recintos</b>	<b>17</b>
8.1	Ruido de fondo . . . . .	17
8.2	Tiempo de reverberación . . . . .	18
8.2.1	Salas de reunión . . . . .	18
8.2.2	Sala de ensayo . . . . .	20
8.3	Análisis modal . . . . .	20
<b>9</b>	<b>Propuesta</b>	<b>22</b>
9.1	Salas de reunión . . . . .	22
9.2	Sala de ensayo . . . . .	23
<b>10</b>	<b>Resultados de recintos acondicionados</b>	<b>25</b>
10.1	Salas de reunión . . . . .	25
10.2	Sala de ensayo . . . . .	26
<b>11</b>	<b>Presupuesto del proyecto</b>	<b>27</b>
<b>12</b>	<b>Medición de coeficiente de absorción de materiales</b>	<b>28</b>
<b>13</b>	<b>Conclusiones</b>	<b>30</b>
	<b>Referencias</b>	<b>31</b>

<b>14 Anexo</b>	<b>32</b>
14.1 Presupuesto . . . . .	32
14.2 Marco teórico . . . . .	32
14.2.1 Ruido de fondo (RdF) . . . . .	32
14.2.2 Tiempo de reverberación (TR) . . . . .	33
14.2.3 Modos normales . . . . .	35
14.2.4 Medición de coeficiente de absorción en tubo de impedancia . . . . .	36
14.3 Posiciones de micrófono y fuente en mediciones de tiempo de reverberación	37
14.4 Mediciones de tiempo de reverberación . . . . .	39
14.5 STI actual . . . . .	41
14.6 STI de salas de reunión acondicionadas . . . . .	43

# 1 Introducción

El acondicionamiento acústico consiste en la definición de las formas y revestimientos de las superficies interiores de un recinto con objeto de conseguir las condiciones acústicas más adecuadas para el tipo de actividad a la que se haya previsto destinarlo.(Carrión Isbert, 1990)

El presente informe tiene como objetivo analizar y proponer soluciones para el acondicionamiento acústico de dos salas de reuniones y una sala de ensayo de orquesta.

La importancia del acondicionamiento acústico radica en su capacidad para mejorar la experiencia auditiva de las personas que utilizan estos espacios. En el caso de las salas de reuniones, es imprescindible una óptima inteligibilidad de la palabra ya que la comprensión del mensaje oral es de suma importancia. (Carrión Isbert, 1990) En el contexto de una sala de ensayo de orquesta, el acondicionamiento acústico es crucial para lograr una reproducción fiel y equilibrada de los instrumentos musicales, permitiendo a los músicos escucharse entre sí y trabajar en conjunto de manera óptima.

Para llevar a cabo este proyecto, se utilizará normativas que indican el procedimiento de medición tiempo de reverberación y cálculo de parámetros acústicos como la ISO 3382 – 2 (Asociación Española de Normalización, 2019).

# 2 Objetivos

- **Objetivo General:**

Proponer un acondicionamiento acústico para dos salas de reuniones y una sala de ensayo de orquesta, en el Centro de Extensión Campus los Canelos, UACH.

- **Objetivos Específicos:**

- Caracterizar acústicamente las salas.
- Analizar los parámetros acústicos de las salas.
- Generar una propuesta de diseño de acondicionamiento acústico para optimizar el sonido de las salas.
- Comparar los resultados mediante recomendaciones internacionales.
- Elaborar un presupuesto del acondicionamiento acústico para cada sala.

### 3 Antecedentes del recinto

El Centro de Extensión Campus Los Canelos de la Universidad Austral de Chile, ubicado en la calle Yeras Buenas, en la ciudad de Valdivia, inaugurado en 2019, busca “acoger y congregar a diferentes comunidades en torno a las artes, las culturas, la extensión científica, temas públicos e iniciativas del área de la salud. Atendiendo a los lineamientos y políticas de vinculación con el medio universitarias se priorizó la adecuación de los espacios con una orientación hacia su uso público. Este centro cuenta con tres salones multiuso para exposiciones, charlas y conferencias, sumando más de  $250\ m^2$  de superficie totalmente equipados con sistemas de audio y video. Además, alberga a las distintas unidades, programas y áreas que conforman la Dirección de Vinculación con el medio, con un espacio cercano a los  $300\ m^2$  utilizados como salas de reuniones y oficinas.” (Dirección de Vinculación con el Medio, 2023)



Figura 1: Centro de Extensión Campus los Canelos, UACH.

En específico, este proyecto considera el acondicionamiento acústico de dos salas de reuniones, de  $30$  y  $35\ m^2$ , y la sala de ensayo de la Orquesta de Cámara de Valdivia, de  $62\ m^2$ .

El Centro de Extensión Campus Los Canelos de la Universidad Austral de Chile, como se puede observar en la figura 2 se encuentra ubicado en Yeras Buenas 181, en la ciudad de Valdivia.

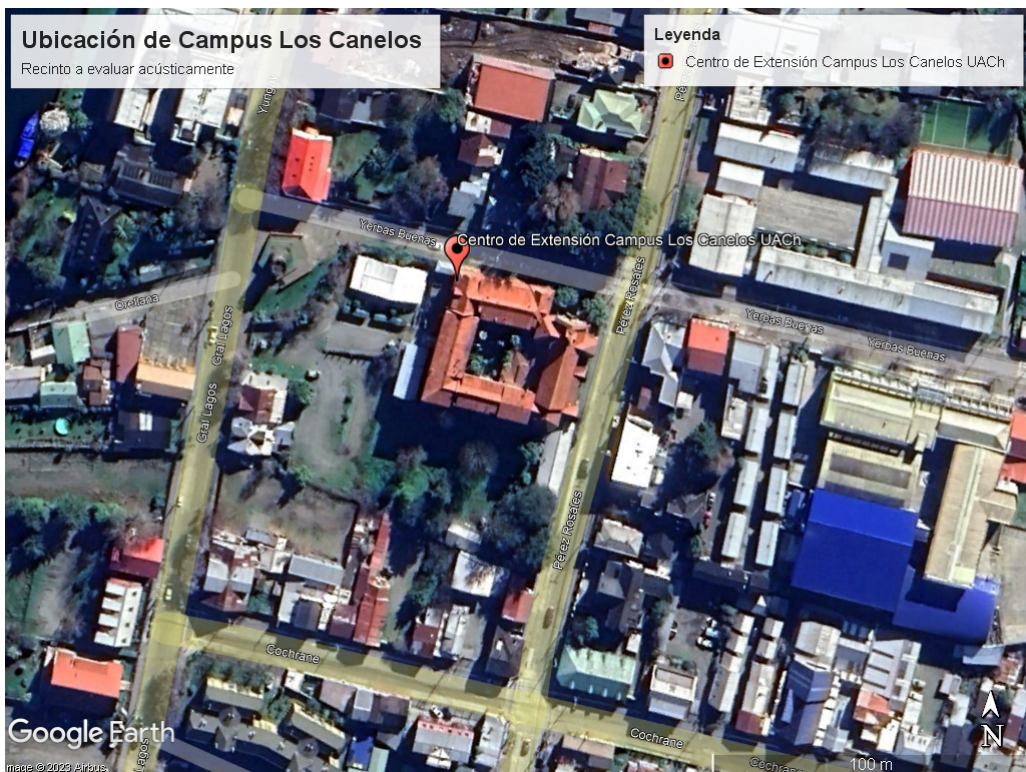


Figura 2: Geolocalización del edificio

Los salones a estudiar dentro del recinto son dos salas de reuniones con soporte para videoconferencia y una sala de ensayo utilizada por la Orquesta de Cámara de Valdivia, como se puede observar en las Figuras 3, 4 y 5 respectivamente.



Figura 3: Fotografía de sala de reunión 1



Figura 4: Fotografía de sala de reunión 2

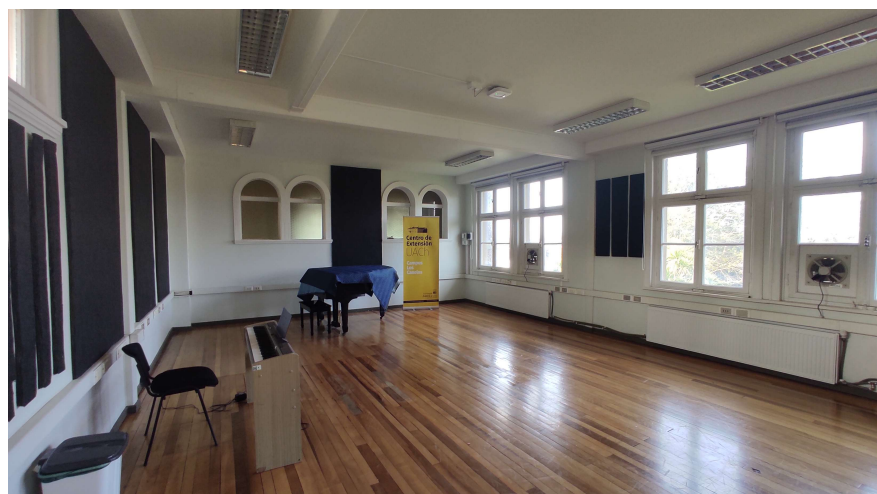


Figura 5: Fotografía de sala de ensayo

## 4 Planificación

### 4.1 Plan de trabajo

Para elaborar el proyecto es importante la realización de actividades las cuales se ven descritas en la tabla 1 con sus respectivos resultados esperados para un trabajo óptimo.

Tabla 1: Plan de trabajo

Actividad	Descripción	Resultado esperado	Indicador de cumplimiento
Planificación	Establecer contacto con el establecimiento y planificación de actividades	Organización del proyecto	Carta Gantt y puntos de medición
Mediciones	Realizar mediciones de dimensión, ruido de fondo y tiempo de reverberación de las salas	Mediciones de respuesta al impulso de las salas, geometría y volumen	Datos de características físicas y acústicas del recinto
Modelación	Modelar las salas en software CAD	Modelo en software EASE del recinto	Archivo de software EASE con modelo del recinto
Análisis de datos	Procesar y tabular los datos obtenidos de las mediciones	Tabla comparativa con recomendaciones	Archivo CSV con los datos procesados de las mediciones
Diseño de propuesta	Proporcionar un diseño de acondicionamiento acústico acorde con recomendaciones para las salas	Determinar una solución de acondicionamiento acústico óptimo para los usos de las salas	Documentación del detalle y archivo de software EASE con la implementación de la propuesta
Análisis de propuesta	Evaluar el acondicionamiento acústico a través de software EASE	Comprobar el mejoramiento de las características acústicas de cada sala	Tabla comparativa de los parámetros de las salas acondicionadas y recomendaciones bibliográficas
Presupuesto de diseño	Presentar una cotización de los elementos y materiales propuestos para el acondicionamiento acústico	Listado de los elementos requeridos para el acondicionamiento en el mercado y sus respectivos valores	Presupuesto de los elementos que componen la propuesta de acondicionamiento acústico
Redacción de informe	Evidenciar el desarrollo del proyecto mediante avances progresivos	Plasmar los resultados del trabajo realizado en el proyecto	Informe final del proyecto
Elaboración de póster	Sintetizar la información presente en el informe en formato póster	Resumen general del proyecto	Póster

## 4.2 Cronograma

A continuación, en la tabla 2 se puede observar la planificación respectiva del proyecto, partir de las actividades planteadas en la tabla 1. Esta planificación se plantea por semanas, desde la semana del 21 de agosto hasta la semana del 2 de diciembre del presente año. Los números señalan la cantidad de horas que se emplearan en realizar cada actividad. Las semanas destacadas son las que corresponden a las entregas de avances del proyecto.

Tabla 2: Carta Gantt del proyecto

Actividad	Semanas															
	1	2	3	4	5	6	7	8	9	10	11	12	13	14	15	16
Planificación	3	4														
Mediciones		6	3													
Modelación			6	6	6											
Análisis de datos				2	4											
Diseño de propuesta					4	4	4	4	4	4						
Análisis de propuesta					2	2	2	2	2	2						
Presupuesto de diseño								2	2	2	2					
Redacción de informe	2	2	2	2		2	2	2		2	2	2	2	2	2	
Elaboración de poster													2	2	2	

Actualmente el proyecto se encuentra en la semana 15, en la cual se hace la última entrega de informe, teniendo ya una solución y un presupuesto de este.

## 5 Metodología

### 5.1 Medición de dimensiones del recinto

Para caracterizar el recinto, es necesario tener las dimensiones de cada sala. Parte del detalle de las dimensiones fueron proporcionadas por el encargado del Campus Los Canelos. En la figura 6 se puede observar una vista superior de las salas a estudiar.

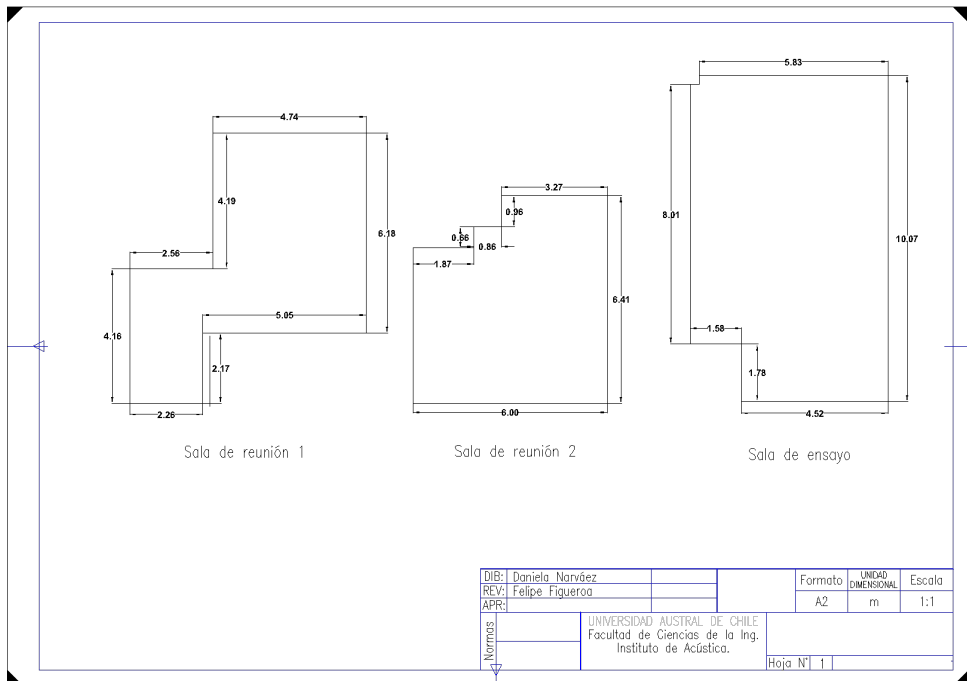


Figura 6: Planos de salas de reuniones y sala de ensayo Campus los canelos

### 5.2 Medición de parámetros acústicos del recinto

Para poder caracterizar acústicamente los salones, se necesita medir parámetros como el ruido de fondo y tiempo de reverberación de cada sala. Para esto se utilizará los siguientes instrumentos:

Tabla 3: Instrumentación utilizada para las mediciones

Instrumentos	Uso
Sonómetro Cirrus CR:171B	Medir nivel de presión sonora equivalente
Micrófono Behringer ECM8000	Recibir el nivel de las fuentes
Conectores XLR	Enviar señal de audio
Interfaz de audio TASCAM US 4x4	Procesar señales de audio
Cinta métrica	Medir distancia de fuente y micrófonos
Termómetro e higrómetro digital	Medir temperatura y humedad en el lugar de medición
Protectores auditivos	Proteger oídos de la exposición de sonidos fuertes
Notebook con software ARTA	Procesar y analizar señales
Globos	Fuente impulsiva

### **5.2.1 Ruido de fondo**

Para medir el ruido de fondo se utilizó el sonómetro Cirrus basándose en el procedimiento descrito en el D.S. 38/11, que indica lo siguiente: "Se deberá medir el NPSeq en forma continua, hasta que se estabilice la lectura, registrando el valor de NPSeq cada 5 minutos. Se entenderá por estabilizada la lectura, cuando la diferencia aritmética entre dos registros consecutivos sea menor o igual a 2 dB(A). El nivel a considerar será el último de los niveles registrados. En ningún caso la medición deberá extenderse por más de 30 minutos."(Decreto Supremo N° 38, 2011)



Figura 7: Medición de ruido de fondo

### **5.2.2 Tiempo de reverberación**

Para la medición de tiempo de reverberación se siguió el procedimiento que indica la norma ISO 3382-2 (Asociación Española de Normalización, 2019), utilizando el método de respuesta impulso en cada una de las salas, utilizando globos como fuente impulsiva. En cada sala de reuniones se realizan dos posiciones de fuente y tres de micrófono, y para la sala de ensayo se utilizan dos posiciones de fuente y cuatro de micrófono, realizando dos mediciones para cada combinación de fuente-micrófono. En el anexo 14.3 se encuentran los planos con las posiciones de fuente y micrófono utilizadas en cada salón.



Figura 8: Medición de ruido de tiempo de reverberación

## 6 Modelación

### 6.1 Modelación en SketchUp

A partir de los planos de la figura 6 y de las mediciones más específicas de cada sala tomadas en terreno, se modeló las tres salas en el software SketchUp (Trimble Inc., versión 2020), resultando los modelos de las Figuras 9, 10 y 11. Además, se tomó en consideración los muebles que utilizaban mayor volumen en las salas de reuniones.

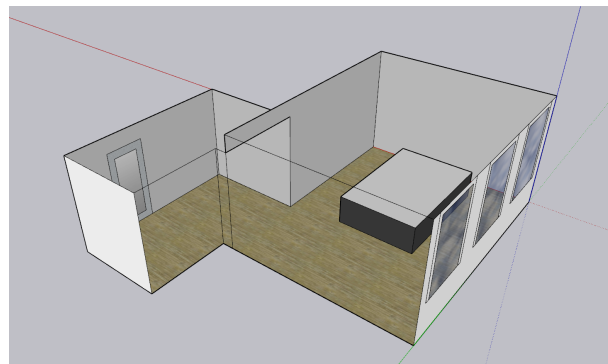


Figura 9: Modelo en SketchUp de Sala de reunión 1

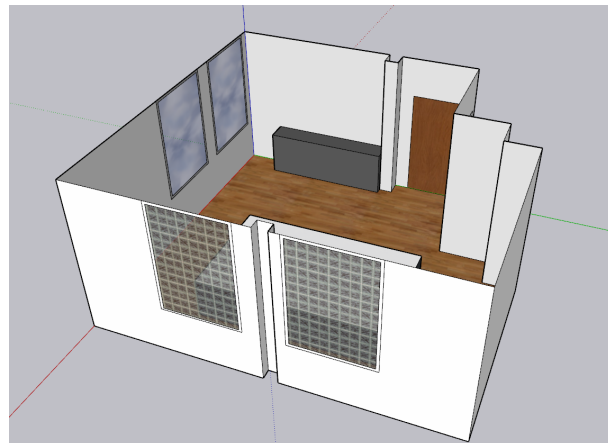


Figura 10: Modelo en SketchUp de Sala de reunión 2



Figura 11: Modelo en SketchUp de Sala de ensayo

## 6.2 Modelación en EASE

A partir de los modelos en SketchUp, estos se importaron al software EASE (AFMG Technologies GmbH, Versión 4.3), verificando las superficies y que estos estén bien cerrados para un correcto uso en el programa. Para calibrar los modelos, se identificó los materiales de cada sala, para poder asignar los coeficientes de absorción a cada superficie correspondientemente. En la Tabla 4 se pueden observar los materiales que se le asignaran a las distintas superficies y su respectivo coeficiente de absorción, además de la fuente de donde se trajeron estos datos. Las superficies cuyo material es desconocido, fueron despejadas desde la ecuación 1.

Tabla 4: Materiales utilizados para modelo en EASE.

Material	Frecuencia (Hz)						Fuente
	125	250	500	1000	2000	4000	
Parquet	0.04	0.04	0.07	0.06	0.06	0.07	(Recuero López, 2000)
Madera	0.25	0.34	0.18	0.10	0.10	0.06	(Recuero López, 2000)
Black Acoustic Board (2")	0.13	0.75	1.17	1.14	1.05	1.09	(Energy, 2023)
Vidrio	0.05	0.5	0.03	0.03	0.02	0.02	(Recuero López, 2000)

Para tener modelar la sala ocupada se consideró el siguiente coeficiente de absorción por persona, que corresponde a una persona sentada en una silla:

Tabla 5: Coeficiente de absorción de una persona sentada de EASE

Frecuencia Hz	125	250	500	1000	2000	4000
Absorción $\alpha$	0.31	0.51	0.73	0.80	0.82	0.82

Para simular a los músicos tocando en la sala de ensayo, se utilizó e ingresó al modelo de EASE distintos archivos GLL, provenientes de una base de datos de mediciones de instrumentos grabados en una cámara anecóica con una arreglo esférico de micrófonos (Ackermann et al., 2023). De esta base de datos, se escogió los que componen la orquesta de cámara que ensaya en el lugar.

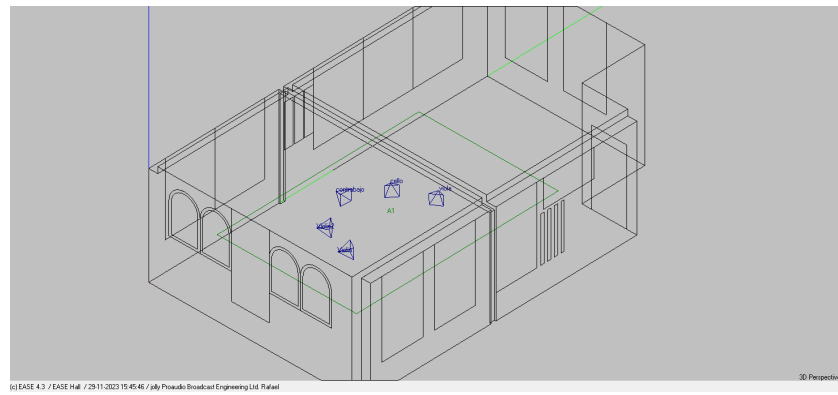


Figura 12: Imagen de la distribución de instrumentos en el EASE

Estos instrumentos se ubicaron como se muestra en la Figura 12. Distribución que se estableció a partir de imágenes recopiladas de la orquesta de cámara de Valdivia ensayando en el lugar (ver Figuras 13 y 14)



Figura 13: Ensayo de cuerdas frotadas de orquesta de cámara en la sala de ensayo



Figura 14: Ensayo de bronces y maderas de la orquesta de cámara en la sala de ensayo

## 7 Recomendaciones de parámetros acústicos

Como objetivo de acondicionamiento acústico de cada sala, se recopiló recomendaciones de los parámetros antes presentados y medidos medidos, los cuales dependen del uso de estas. Por esto, se dividen en dos grupos, los que son dirigidos para el uso del habla y otro para la sala dirigida a música clásica.

### 7.1 Salas de reuniones

Para las salas de reuniones se consideran recomendaciones de parámetros determinados para sala de conferencias. En la Tabla 6 se pueden observar los valores objetivo para este tipo de salas y la fuente bibliográfica que determina estos valores.

Parámetro	Uso	Valores	Fuente
Curvas NC (dB)	Para salas de juntas	25 - 30	(Recuero López, 2000)
$T_{target}$ (s)	Speech/Lecture (A2)	0.6	(Deutsches Institut für Normung e.V., 2016)
$C_{50speech}$ (dB)	Para la voz	$C_{50} > 0$	(Marshall, 1994)
STI	Transmisión del habla	$STI > 0.45$	(ISO 9921, 2003)

Tabla 6: Parámetros objetivos para salas de reuniones

### 7.2 Sala de ensayo

Para la sala de ensayo se consideran recomendaciones de parámetros determinados para sala de conciertos de música de cámara, ya que este espacio es utilizado para este tipo de música. En la Tabla 7 se pueden observar los valores objetivo para este tipo de salas y la fuente bibliográfica que determina estos valores.

Parámetro	Uso	Valores	Fuente
Curvas NC (dB)	Salas de conciertos y teatros de ópera	20 - 25	(Recuero López, 2000)
$RT_{mid}$ (s)	Sala de conciertos (música de cámara)	1.3 - 1.7	(Carrión Isbert, 1990)
$C_{80}$ (dB)	Para música sinfónica	$-2 < C_{80} < 2$	(Marshall, 1994)
$D_{50}$ (&)	Salas de concierto	$D_{50} < 0.5$	(Thiele, 1953)

Tabla 7: Parámetros objetivos para sala de ensayo

## 8 Resultados del estado actual de los recintos

A continuación se muestran los resultados de las mediciones y parámetros más específicos del ruido de fondo y tiempo de reverberación, como curvas NC y NR, claridad ( $C_{50speech}$ ,  $C_{80}$ ) y definición  $D_{50}$ .

### 8.1 Ruido de fondo

En las Figuras 15, 16 y 17, se pueden observar los valores obtenidos del ruido de fondo en bandas de octava con su respectiva curva NC más cercana.

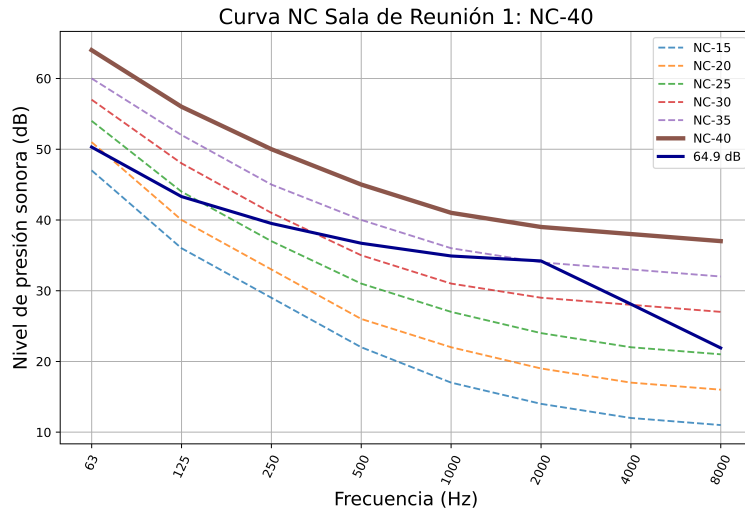


Figura 15: Curvas NC sala de reunión 1

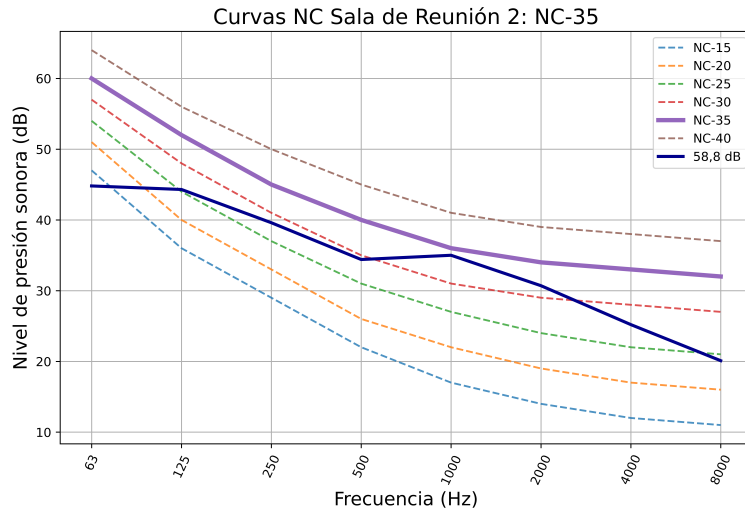


Figura 16: Curvas NC sala de reunión 2

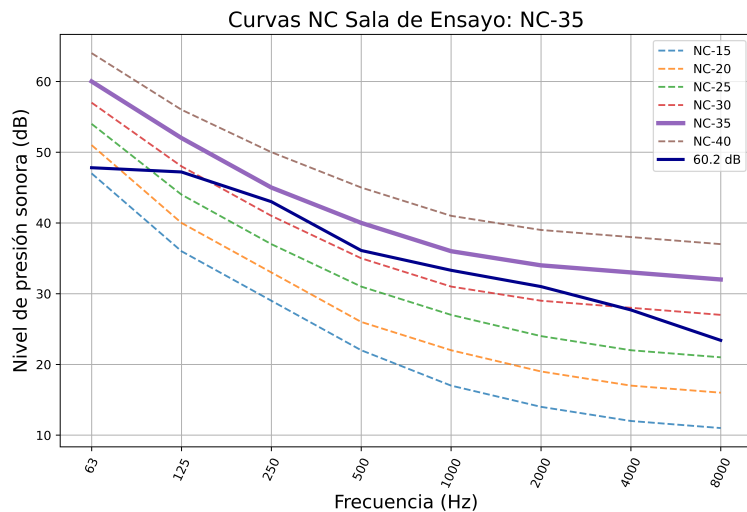


Figura 17: Curvas NC sala de ensayo

Según las recomendaciones mencionadas en la sección 7 se puede determinar que los valores de ruido de fondo como se muestran en la tabla 8 no cumplen para todas las salas.

Salones	Curva NC recomendada	Curva NC medida	Estado
Sala de reunión 1	25 - 30	40	No cumple
Sala de reunión 2	25 - 30	35	No cumple
Sala de ensayo	20 - 25	35	No cumple

Tabla 8: Estado de parámetros de ruido de fondo por sala

## 8.2 Tiempo de reverberación

### 8.2.1 Salas de reunión

A partir del tiempo de reverberación medido (ver Anexo 14.4) y de describen según indica la norma DIN18041 para las salas de reunión (recinto A2) de un volumen de 114 y 101  $m^3$ , para la sala de reunión 1 y 2 respectivamente.

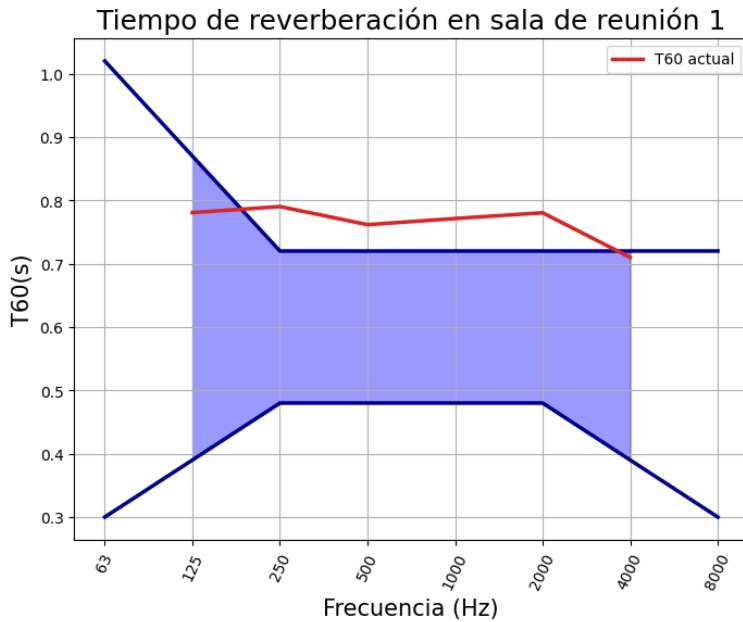


Figura 18: Tiempo de reverberación Sala de reunión 1

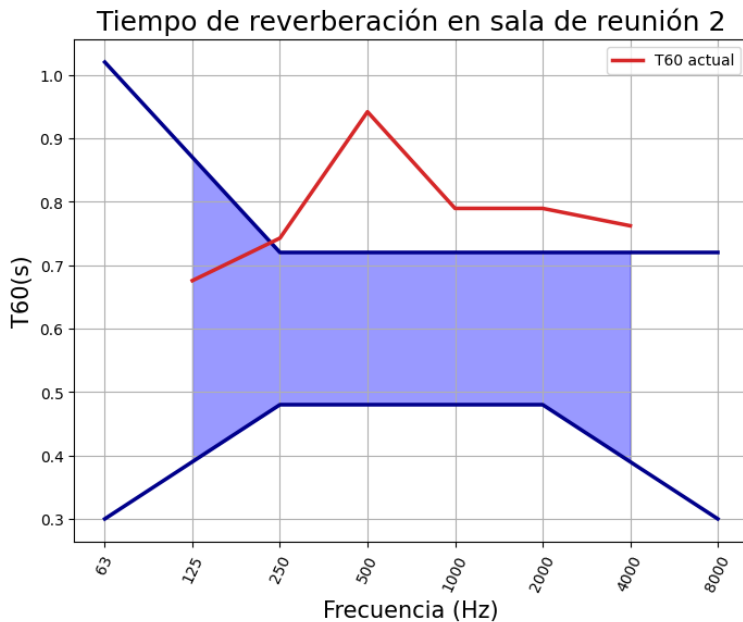


Figura 19: Tiempo de reverberación Sala de reunión 2

A continuación, se muestra una tabla con los valores obtenidos a partir de las mediciones realizadas. Los gráficos detallados de STI se encuentran en el Anexo 14.5.

Parámetro	Recomendación	Sala de reunión 1	Sala de reunión 2
$T_{target}(s)$	0.6	No cumple	No cumple
$C_{50speech}$	$C_{50speech} > 0$	1.79	0.89
STI	$STI > 0.45$	0.66	0.64

Tabla 9: Parámetros acústicos de las salas de reunión

### 8.2.2 Sala de ensayo

Para la sala de ensayo, se analizó los parámetros descriptor en la sección 7. En la Tabla 10 se puede observar el estado actual de la sala de ensayo determinando su  $RT_{mid}$ ,  $C_{80}$  y  $D_{50}$ .

Parámetro	Recomendación	Sala de ensayo
$RT_{mid}(s)$	1.3 - 1.7	0.74
$C_{80}$	$-2 < C_{80} < 2$	6.04
$D_{50}$	$D_{50} < 0.5$	No cumple

Tabla 10: Parámetros acústicos de la sala de ensayo y su estado

Además, se obtuvo el siguiente gráfico de definición  $D_{50}$ :

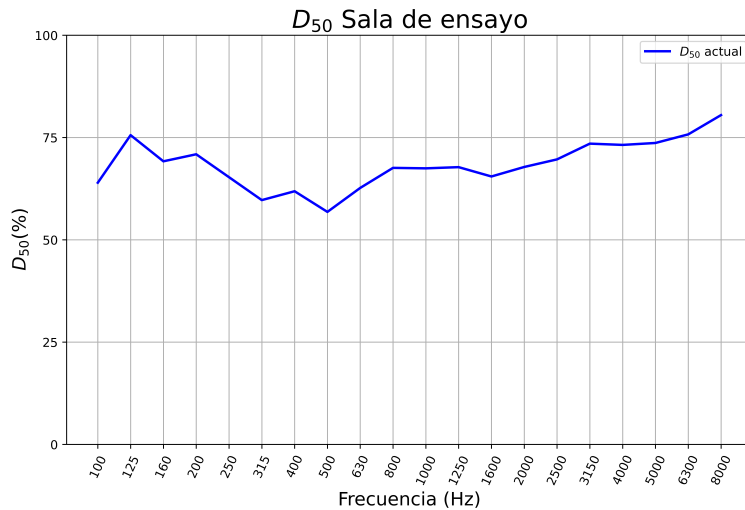


Figura 20:  $D_{50}$  de sala de ensayo

Como se puede ver, la sala de ensayo no cumple con ninguno de los valores objetivos establecidos en la sección 7.

## 8.3 Análisis modal

Para evaluar el estado actual de la sala de ensayo de manera más precisa, debido a que su uso será para música de orquesta, se realizó un análisis modal (Figura 21).

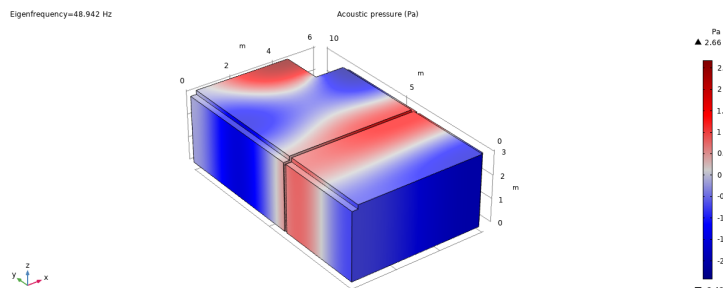


Figura 21: Modo los 48hz

Según el criterio de Bonello, la densidad modal por frecuencias de banda de tercio de octava debe ser igual o aumentar en la frecuencia siguiente. En la Figura 22 se puede observar la distribución modal de la sala de ensayo, que, en base al criterio de Bonello, indica un problema con los modos normales cercanos a la frecuencia de 31.5 Hz

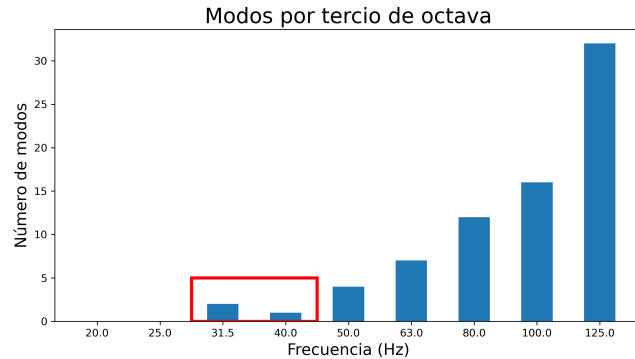


Figura 22: Distribución modal de la sala de ensayo

Sin embargo, los instrumentos utilizados por la OCV no se encuentran en rangos cercanos a la frecuencia de 31.5 Hz (Figura 23). Por lo que no es necesario un mayor análisis y acondicionamiento acústico en bajas frecuencias.

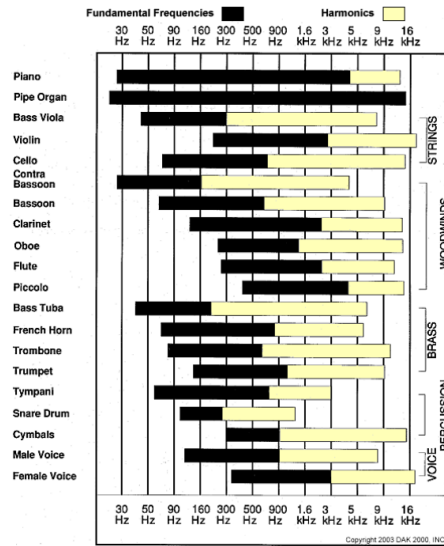


Figura 23: Rangos de frecuencias de distintos instrumentos

## 9 Propuesta

### 9.1 Salas de reunión

En las salas de reunión se pudo analizar que el tiempo de reverberación no es el mejor para su utilización, según la norma DIN18041. Por lo que con esta solución se buscará disminuirlo y llevarlo dentro de las tolerancias que indica la norma, mejorando así la inteligibilidad y la claridad del habla.

Para esto, pensando también en una solución estéticamente adecuada para las salas, se propone el uso de un "cielo acústico". Este consiste en un panel de volcanita ranurado ubicado en la parte del techo del recinto como un cielo falso. Para determinar la solución óptima, se consideró la distribución del material en el recinto, que cumpliese con los parámetros establecidos, y el costo de la implementación.

Es así como se presenta la siguiente propuesta de acondicionamiento:

Para ambas salas de reunión se propone un panel ranurado de volcanita (Rigitone 12/25Q), con un plenum de 200 mm y aislanglass de 60 mm en la parte posterior. Esto, en el área del cielo en donde se ubica la mesa de las salas. La superficie propuesta en la sala 1 es de  $12.5 \text{ m}^2$  y en la sala 2 de  $9 \text{ m}^2$ , como se puede observar en las Figuras 24 y 25.

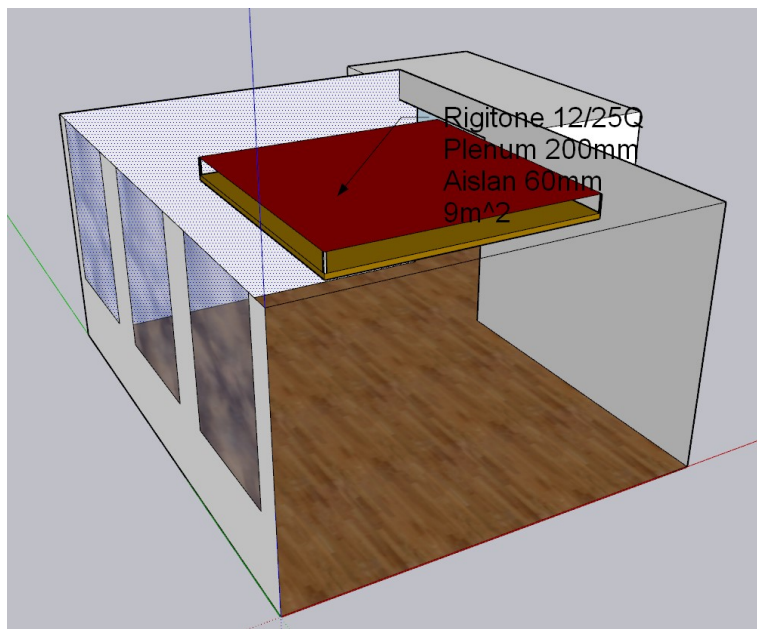


Figura 24: Propuesta de acondicionamiento en sala de reunión 1

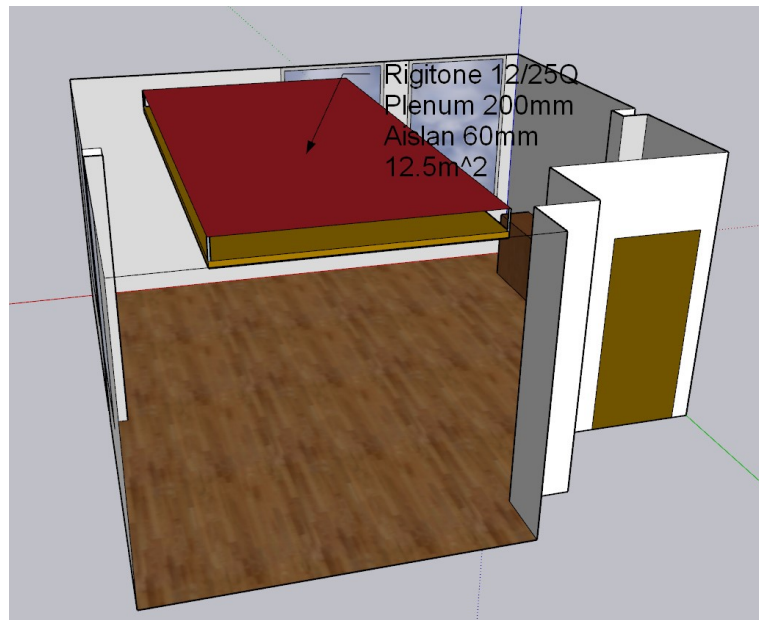


Figura 25: Propuesta de acondicionamiento en sala de reunión 2

El coeficiente de absorción acústica del conjunto de materiales indicados se indican en la tabla 11

Volcanita acústica Rigitone 12/25Q						
Plenum	200 mm					
Lana de vidrio	60 mm					
Frecuencia Hz	125 Hz	250 Hz	500 Hz	1 KHz	2 KHz	4 KHz
$\alpha$	0.60	0.90	0.95	0.90	0.80	0.75

Tabla 11: Coeficiente de absorción de Volcanita acústica Rigitone

## 9.2 Sala de ensayo

Para la sala de ensayo, se recomienda quitar el material absorbente que se instaló, cambiando así el tiempo de reverberación favorablemente para el uso que le da al recinto.



Figura 26: Propuesta de acondicionamiento en sala de ensayo

## 10 Resultados de recintos acondicionados

### 10.1 Salas de reunión

Para el caso de las salas de reunión se obtuvieron los siguientes resultados de ambas propuesta de acondicionamiento. (ver tabla ...)

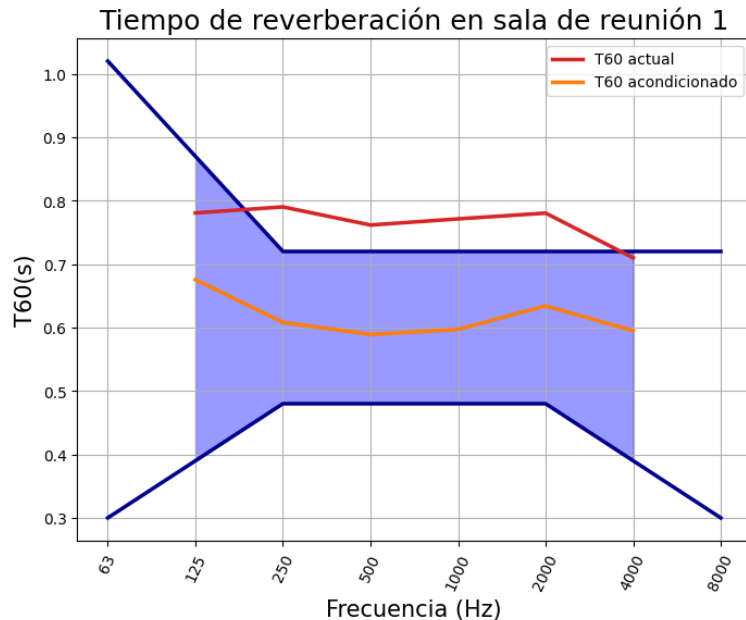


Figura 27: Tiempo de reverberación del estado actual y acondicionado de la sala de reunión 1

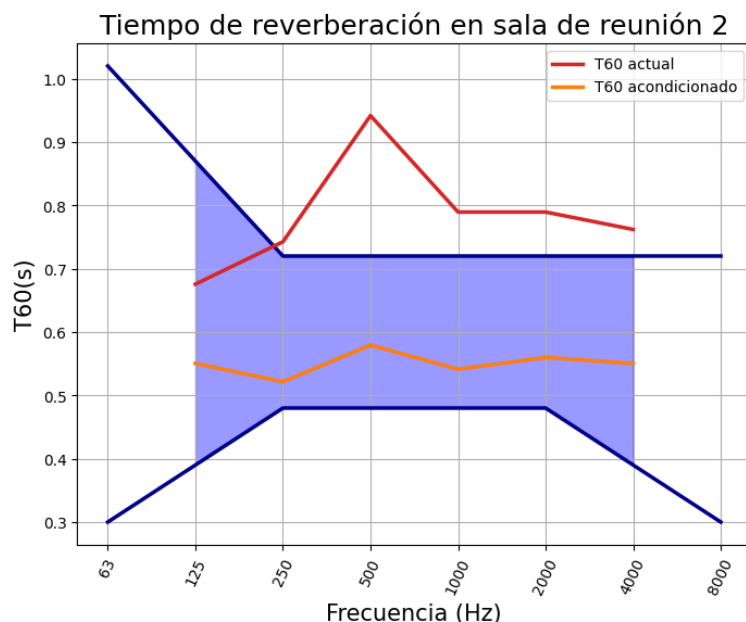


Figura 28: Tiempo de reverberación del estado actual y acondicionado de la sala de reunión 2

Parámetro	Recomendación	Sala de reunión 1		Sala de reunión 2	
		Estado actual	Propuesta	Estado actual	Propuesta
$T_{target}$	0.6	No cumple	Cumple	No cumple	Cumple
$C_{50speech}$	$C_{50speech} > 0$	1.79	3.5	0.89	3.9
STI	STI >0.45	0.66	0.70	0.64	0.72

Tabla 12: Parámetros acústicos de las salas de reunión del estado actual y acondicionado

## 10.2 Sala de ensayo

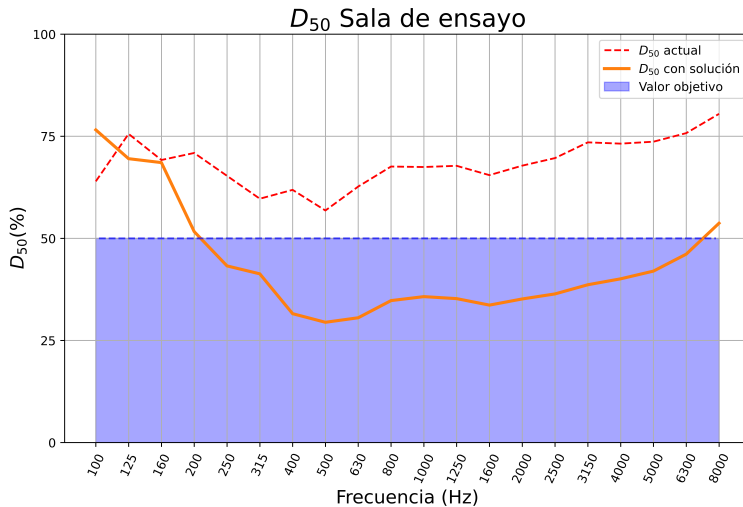


Figura 29:  $D_{50}$  del estado actual y acondicionado de sala de ensayo

Para el caso de la sala de ensayo se obtuvieron los siguientes resultados. (ver tabla 13)

Parámetro	Recomendación	Sala de ensayo	
		Estado actual	Propuesta
$RT_{mid}$ (s)	0.3 - 0.7	0.74	1.4
$C_{80}$ (dB)	$-2 < C_{80} < 2$	6.04	1
$D_{50}$ (%)	$D_{50} < 0.5$	65	33

Tabla 13: Parámetros acústicos de la sala de ensayo del estado actual y acondicionado

## 11 Presupuesto del proyecto

El costo total de los elementos que componen la propuesta de acondicionamiento acústico presentada se presenta en la Tabla 14

Tabla 14: Presupuesto de la propuesta de acondicionamiento acústico

Solución 1: Nube							
	Material	Superficie (u)	Costo (u)	Superficie (m2)	Unidades	Residuo (m2)	Costo Total
Sala de reunión 1	Volcanita Rigitone 12/25Q	2.4	CLP \$63,490	9	4	0.60	CLP \$253,960
	Aislanglass 60MM R100/141	14.4	CLP \$44,190	9	1	5.40	CLP \$44,190
							CLP \$298,150
Sala de reunión 2	Material	Superficie (u)	Costo (u)	Superficie (m2)	Unidades	Residuo (m2)	Costo Total
	Volcanita Rigitone 12/25Q	2.4	CLP \$63,490	12.5	5	1.90	CLP \$380,940
							CLP \$44,190
							CLP \$425,130
							Costo total CLP \$723,280

## 12 Medición de coeficiente de absorción de materiales

Como actividad extra del proyecto, se realizó el análisis del coeficiente de absorción sonora de una muestra de madera ranurada con lana mineral y lana de vidrio. (ver figura 30)



Figura 30: Imágenes de materiales a medir

La madera contaba con ranuras de diámetro de 5mm y una distancia de 10 mm entre ellas como lo indica la figura 31

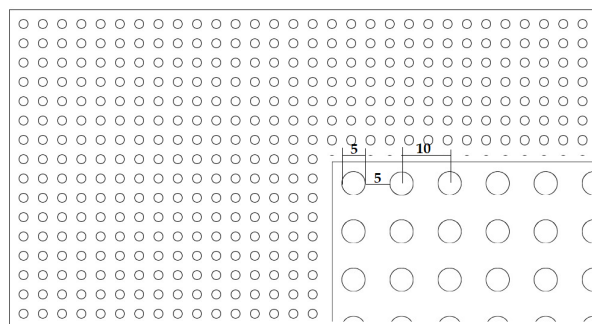


Figura 31: Imagen de la madera ranurada medida

Para realizar las mediciones se utilizó un tubo de impedancia con una muestra de cada materiales, combinando primero la madera con lana mineral sin plenum y un plenum de 2 cm, y lo mismo con la lana de vidrio.

A raíz de las mediciones en el tubo se obtuvo el factor de reflexión, del cual se calculó el coeficiente de absorción de cada combinación a través de la fórmula 5 indicada en el anexo. Los coeficientes obtenidos se pueden observar en la tabla 15 y en la figura 32 y 33

Tabla 15: coeficiente de absorción de los materiales

		<b>Madera 5/10</b>			
		Lana mineral 5 cm		Lana de vidrio 6 cm	
Plenum		0 mm	200 mm	0 mm	200 mm
Frecuencias Hz	250	0.44	0.57	0.48	0.56
	315	0.54	0.69	0.59	0.66
	400	0.73	0.89	0.78	0.83
	500	0.89	0.97	0.92	0.95
	630	0.99	0.93	0.94	0.92
	800	0.92	0.77	0.78	0.77
	1000	0.75	0.61	0.59	0.60
	1250	0.60	0.52	0.48	0.50
	1600	0.49	0.49	0.43	0.47
	2000	0.52	0.51	0.42	0.47
$\alpha_\omega$		0.60	0.60	0.50	0.55

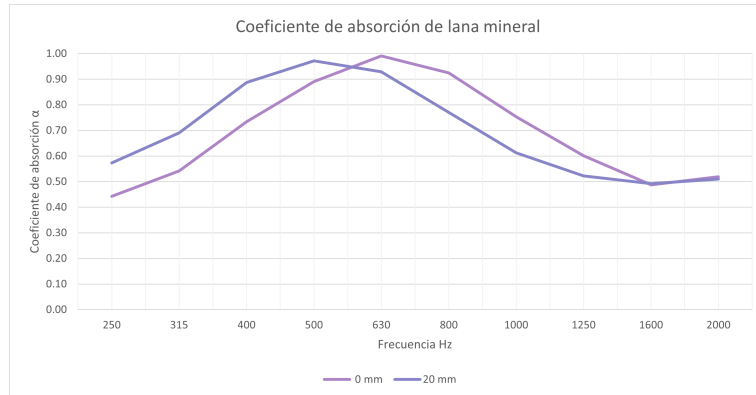


Figura 32: Gráfico de coeficiente de absorción de madera ranurada con lana mineral con distinto plenum

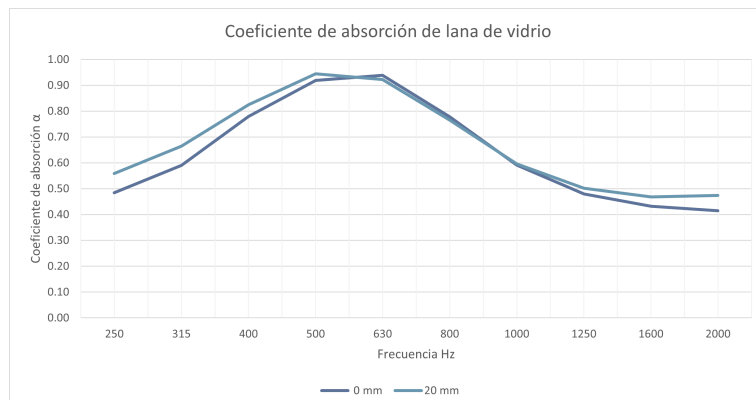


Figura 33: Gráfico de coeficiente de absorción de madera ranurada con lana de vidrio con distinto plenum

## **13 Conclusiones**

Se logró cumplir con las actividades propuestas en el cronograma, logrando medir y analizar el estado actual de las salas, crear una propuesta de mejora en cada uno de los recintos y realizar un presupuesto de estas soluciones.

A raíz de los resultados de las mediciones, se logró identificar si estos son adecuados acústicamente para el uso de cada uno de estos recintos. Por un lado, el ruido presente en los salones es el problema que predomina, incumpliendo con las curvas NC recomendadas para su uso.

En el caso del tiempo de reverberación en las salas de reuniones según la norma DIN18041 estos no cumplen con valores acordes a su uso. Lo cual con la propuesta dada en este proyecto se logró cumplir con este criterio, además de mejorar la claridad y la inteligibilidad de la palabra en ambas salas.

En el caso del tiempo de reverberación de la sala de ensayo, los valores eran demasiado bajos con la implementación que se realizó por parte de la administración, los valores obtenidos no eran aptos para que el sonido resonara y cree intimidad musical, que es lo que se busca en estos recintos. Con la solución de retirar este material, aumentaría el tiempo de reverberación, mejorando la claridad y la definición del sonido de los instrumentos.

## Referencias

- Ackermann, D., Brinkmann, F., & Weinzierl, S. (2023). *A database with directivities of musical instruments*.
- AFMG Technologies GmbH. (Versión 4.3). *EASE*. (Disponible en: <https://www.afmg.eu/index.php/products/ease/>)
- Asociación Española de Normalización. (2019). *UNE-ISO 3382 – 2: Acústica. medición de los parámetros de las salas. parte 2: Parámetros relacionados con el tiempo*. (Disponible en: <https://www.une.org/encuentra-tu-norma/busca-tu-norma/norma/?c=Noo69999>)
- Bs en iso 10534 – 2 : 2001, acoustics — determination of sound absorption coefficient and impedance in impedance tubes - part 2: Transfer-function method* (Standard). (2001, 06). Brussels: European Committee for Standardization.
- Carrión Isbert, A. (1990). Diseño acústico de espacios arquitectónicos. *Informes de la Construcción*, 42(408), 61–66.
- Decreto Supremo Nº 38. (2011). [Ministerio del medio ambiente]. (Establece norma de emisión de ruidos generados por fuentes que indica, elaborada a partir de la revisión del decreto Nº 146, de 1997, del ministerio secretaría general de la presidencia. 11 de noviembre de 2011)
- Deutsches Institut für Normung e.V. (2016). *Din 18041:2016-03 - acoustic quality in small and medium-sized rooms* (DIN Standard No. DIN 18041). Berlin, Germany: Beuth Verlag GmbH.
- Dirección de Vinculación con el Medio. (2023). *Centro de Extensión Los Canelos*. (Disponible en: <http://vinculacion.uach.cl/index.php/organizacion/quienes-somos/canelos>)
- Energy, S. (2023). *Black acoustic board*. (<https://www.safe-energy.cl/product/black-acoustic-board/>)
- Iso 9921 : 2003, ergonomics — assessment of speech communication* (Standard). (2003, 06). Geneva, CH: International Organization for Standardization.
- Kleiner, M., & Tichy, J. (2014). *Acoustics of small rooms*. London, England: CRC Press.
- Kuttruff, H. (2016). *Room acoustics*. CRC Press.
- Marshall, L. G. (1994). An acoustics measurement program for evaluating auditoriums based on the early/late sound energy ratio. *The Journal of the Acoustical Society of America*, 96(4), 2251–2261. doi: 10.1121/1.410097
- Recuero López, M. (2000). *Ingeniería acústica* (1st ed.). Madrid, España: Editorial Paraninfo.
- Sabine, W. C. (1922). *Collected papers on acoustics* (2nd ed.). Cambridge, MA: Harvard University Press.
- Thiele, R. (1953). Richtungsverteilung und zeitfolge der schallrückwürfe in räumen. *Acta Acustica united with Acustica*, 3(4), 291-302. Retrieved from <https://www.ingentaconnect.com/content/dav/aaua/1953/oooooooo3/a00204s2/art00007>
- Trimble Inc. (versión 2020). *SketchUp*. (Disponible en: <https://www.sketchup.com/>)
- Une en iso 11654 : 1997, acústica — absorbentes acústicos para su utilización en edificios - evaluación de la absorción acústica* (Standard). (1998, 02). Madrid, España: AENOR.

## 14 Anexo

### 14.1 Presupuesto

A continuación, se muestra el presupuesto a partir de las horas invertidas descritas en la planificación, dando un total de \$ 3.842.227 pesos.

Tabla 16: Presupuesto del proyecto

	Actividades	Horas	UF/hr	UF*	CLP
Costo ingeniería	Planificación	7	0.6	4.2	151.687
	Mediciones	9	1	9	325.044
	Modelación	18	0.8	14.4	520.070
	Análisis de datos	6	1	6	216.696
	Diseño de propuesta	24	1	24	866.784
	Análisis de propuesta	12	0.8	9.6	346.713
	Cotización de propuesta	8	0.6	4.8	173.356
	Redacción de informe	26	0.6	15.6	563.409
Costo operacional	Arriendo de equipos			1.7	60.000
	Traslados			0.1	5.000
<b>Total</b>		110		89.3	3.228.762
			IVA (19%)	17	613.465
			Total (con IVA)	106.3	3.842.227

\*Considerando el valor en UF correspondiente a la fecha del 28 de agosto de 2023 es de \$ 36.116 CLP.

### 14.2 Marco teórico

#### 14.2.1 Ruido de fondo (RdF)

El ruido de fondo es el sonido presente en una sala cuando no hay actividad o no está presente la fuente a evaluar. Este ruido puede ser causado por sistemas de climatización, instalaciones eléctricas o hidráulicas, e incluso ruido externo como el tráfico.

**Curvas NC:** son curvas de referencia que representan los límites de ruido aceptables en un espacio según su uso. Un recinto se considera que cumple una especificación NC determinada (por ejemplo, NC-15, NC-20, etc.) cuando los niveles de ruido de fondo, medidos en diferentes bandas de frecuencia, están por debajo de la curva NC correspondiente para todas las frecuencias entre 63 Hz y 8 kHz (ver figura 34). (Carrión Isbert, 1990)

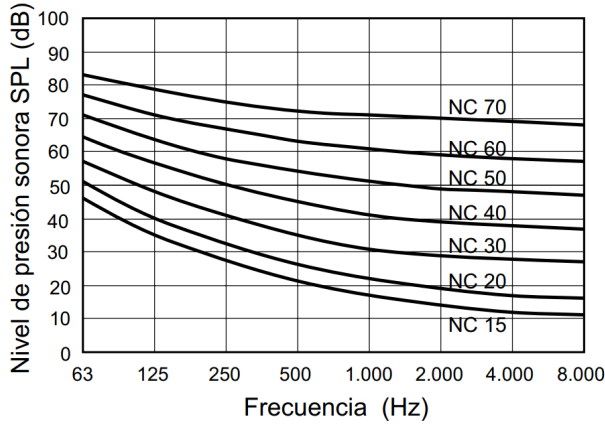


Figura 34: Curvas NC (“Noise Criteria”)

En la tabla 17 se muestran las curvas NC recomendadas para diferentes tipos de recinto, junto con su equivalencia en dBA.

Tabla 17: Curvas NC recomendadas y niveles de ruido de fondo equivalentes en dBA

Tipos de recinto	Curva NC recomendada
Fábricas para ingeniería pesada	55 - 75
Fábricas para ingeniería ligera	45 - 65
Cocinas industriales	40 - 50
Recintos deportivos y piscinas	35 - 50
Grandes almacenes y tiendas	35 - 45
Restaurantes, bares, cafeterías y cafeterías privadas	35 - 50
Oficinas mecanizadas	40 - 50
Oficinas generales	35 - 45
Despachos, bibliotecas, salas de justicia y aulas	30 - 35
viviendas, dormitorios	25 - 35
Salas de hospitales y quirófanos	25 - 35
Cines	30 - 35
Teatros, salas de juntas, iglesias	25 - 30
Salas de conciertos y teatros de ópera	20 - 25
Estudios de registro y reproducción sonora	15 - 20

#### 14.2.2 Tiempo de reverberación (TR)

El tiempo de reverberación  $T_{60}$  es el tiempo que tarda el sonido en decaer 60 dB en un espacio cerrado. Este parámetro es importante en el diseño de un sistema de refuerzo sonoro, ya que afecta la claridad, inteligibilidad y calidad del sonido en un recinto.

- $T_{30}$ : Es una expresión del  $T_{60}$  que mide el tiempo que demora el sonido en decaer 30 dB. El valor  $T_{30}$  se entrega ya multiplicado por el factor correcto para medir la que sería la caída por 60 dB.
- Formula de Sabine: Uno de los modelos para calcular el tiempo de reverberación es la fórmula de Sabine. La cual es calculada según lo indicado en la ecuación 1.

(Sabine, 1922)

$$T_{60} = 0.161 \cdot \frac{V_t}{S_t \bar{\alpha}} \quad (1)$$

donde:

- $V_t$  es el volumen total de la sala
  - $S_t$  es la superficie total de la sala
  - $\bar{\alpha}$  es la absorción media de la sala
- $RT_{mid}$ : Es la media aritmética de los valores de tiempo de reverberación correspondientes a las bandas de 500 Hz y 1 kHz. En general, el valor más adecuado de  $RT_{mid}$  depende del volumen del recinto y de la actividad a la que este destinado este. En la tabla 18 se muestran valores recomendados de  $RT_{mid}$ , para diferentes tipos de salas en el supuesto que estén ocupadas. (Carrion Isbert, 1990)

Tipo de sala	$RT_{mid}$ , sala ocupada
Sala de conferencia	0.7 - 1.0
Cine	1.0 - 1.2
Sala polivalente	1.2 - 1.5
Teatro de ópera	1.2 - 1.5
Sala de conciertos (música de cámara)	1.3 - 1.7
Sala de conciertos (música sinfónica)	1.8 - 2.0
Iglesia/catedral (órgano y canto coral)	2.0 - 3.0
Locutorio de radio	0.2 - 0.4

Tabla 18: Valores de  $RT_{mid}$  recomendados en función del tipo de sala (recintos ocupados)

En el caso de salas de salas de conferencia/aulas el  $RT_{mid}$  recomendado, considerando volúmenes entre los 100 y 10000  $m^3$ , es entre los valores de:

$$0.7 \leq RT_{mid} \leq 1s$$

- Claridad: La claridad se refiere a cómo se distribuye la energía del sonido en un espacio. En términos simples, se mide la relación entre el sonido directo y las primeras reflexiones (llamada energía temprana) en comparación con la energía que llega después. En acústica, se utiliza el parámetro  $C_{50}$  para evaluar la claridad en entornos destinados a la voz y el  $C_{80}$  para la música. Estos valores se obtienen de manera logarítmica y se calculan para un rango de frecuencias entre 125 y 4000 Hz.(Carrion Isbert, 1990)

$$C_{50} = 10 \log_{10} \left[ \int_0^{50ms} [g(t)]^2 dt / \int_{50ms}^{\infty} [g(t)]^2 dt \right] \quad (2)$$

$$C_{80} = 10 \log_{10} \left[ \int_0^{80ms} [g(t)]^2 dt / \int_{80ms}^{\infty} [g(t)]^2 dt \right] \quad (3)$$

Marshall, define valores apropiados de  $C_{50}$  para el habla y  $C_{80}$  para distintos tipos de música, descritos en la figura 35 (Marshall, 1994)

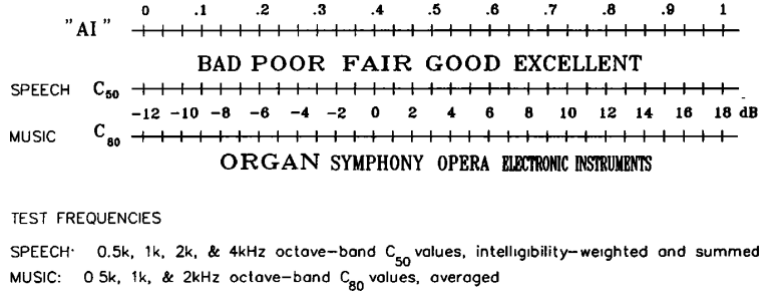


Figura 35: Recomendaciones de claridad para el habla y música

- Definición: El parámetro llamado definición se determinó para evaluar la cantidad de energía temprana, el cual se deriva directamente de la respuesta impulso  $g(t)$  en la siguiente ecuación:

$$D_{50} = \left[ \int_0^{50ms} [g(t)]^2 dt / \int_0^{\infty} [g(t)]^2 dt \right] \quad (4)$$

Ambas integrales deben incluir el sonido directo, cuya llegada al oyente determina el tiempo  $t = 0$ . Obviamente, D será del 100% si la respuesta al impulso no contiene componentes con retardos superiores a 50 ms. (Kuttruff, 2016)

- STI: Es el índice de transmisión del habla el cual indica el entendimiento de la palabra y sus valores oscilan entre los 0 y 1, que evalúa la inteligibilidad en el recinto, siendo los valores cercanos a 0 deficientes y los valores cercanos a 1 una inteligibilidad excelente. Según la normativa ISO 9921 (ISO 9921, 2003) los valores clasificarían como se indica en la tabla 19.

Tabla 19: Rango de STI según ISO 9921

Rango de inteligibilidad	STI
Excelente	> 0.75
Bueno	0.60 - 0.75
Razonable	0.45 - 0.60
Pobre	0.30 - 0.45
Malo	< 0.3

#### 14.2.3 Modos normales

Un modo normal puede ser considerado como una resonancia en el aire de un recinto en una cierta frecuencia modal (Kleiner & Tichy, 2014). En el espectro de frecuencias bajas, los modos pueden ser identificados por un peak en la curva de respuesta de frecuencia de un recinto, como se puede ver en la Figura 36. Esto debido a que la densidad modal es proporcional al cuadrado de la frecuencia, por lo que a mayor frecuencia existe mayor traslape de estos modos. Este énfasis o supresión de ciertas frecuencias debido al recinto produce una coloración del sonido recibido por un receptor (Kuttruff, 2016).

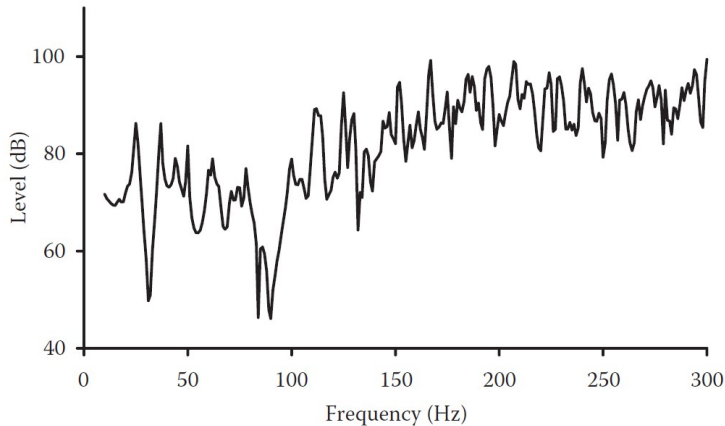


Figura 36: Respuesta en frecuencias bajas de un recinto.

#### 14.2.4 Medición de coeficiente de absorción en tubo de impedancia

Un método utilizado para determinar el coeficiente de absorción acústica de un material es a través del empleo de un tubo de impedancia, también conocido como tubo de Kundt. Este dispositivo consta de un tubo equipado con dos micrófonos dispuestos a lo largo de su longitud, junto con un altavoz ubicado en uno de sus extremos. En el extremo opuesto se sitúa el material cuya capacidad de absorción acústica se pretende medir.



Figura 37: Tubo de Kundt

A partir de la relación de la señal recibida por cada uno de los micrófonos el software ... entrega el coeficiente de reflexión ... el cual se utiliza en la ecuación... para calcular el coeficiente de absorción.

$$\alpha = 1 - |r|^2 = 1 - r_r^2 - r_i^2 \quad (5)$$

donde,

$r$  es el factor de reflexión.

$r_r$  es el componente real del factor de reflexión.

$r_i$  es el componente imaginario del factor de reflexión.(ISO 10534 – 2, 2001)

Posteriormente a la obtención de los datos se realiza el cálculo de los valores de coeficientes de absorción ponderado, para esto fue necesario transformar los datos obtenidos anteriormente a tercios de octava y así calcular el coeficiente de absorción sonora práctico ( $\alpha_{pi}$ ), que se define como el valor del coeficiente de absorción acústica dependiente de la frecuencia, basado en mediciones por bandas de un tercio de octava, que se obtiene mediante la siguiente fórmula:

$$\alpha_{pi} = \frac{\alpha_{i1} + \alpha_{i2} + \alpha_{i3}}{3} \quad (6)$$

Ahora con los coeficiente de absorción práctico, se obtienen los valores de coeficiente de absorción ponderado  $\alpha_{\omega}$ , utilizando la curva de referencia de la figura 38. Se irá ajustando la curva de referencia por intervalos de 0.05 hacia el valor calculado hasta que la suma de las desviaciones desfavorables sea menor o igual que 0.10, esto ocurre cuando el valor medido es menor que el valor de la curva de referencia. (ISO 11654, 1998)

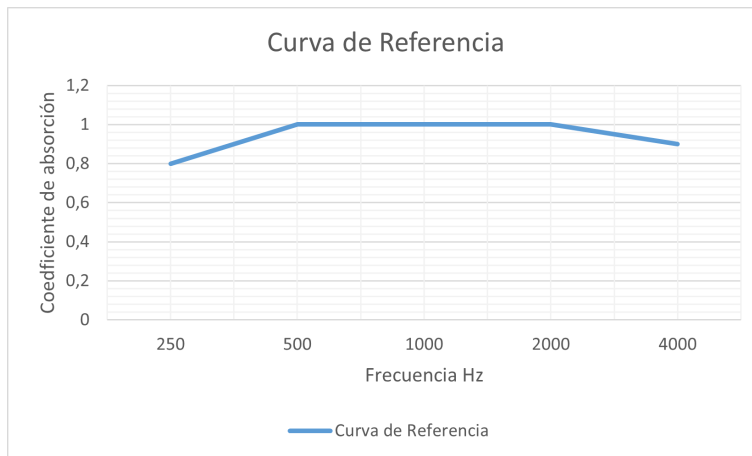


Figura 38: Curva de referencia de la medida de coeficiente de absorción

### 14.3 Posiciones de micrófono y fuente en mediciones de tiempo de reverberación

A continuación se pueden observar la distribución de las posiciones de fuente y micrófono para las mediciones de tiempo de reverberación.

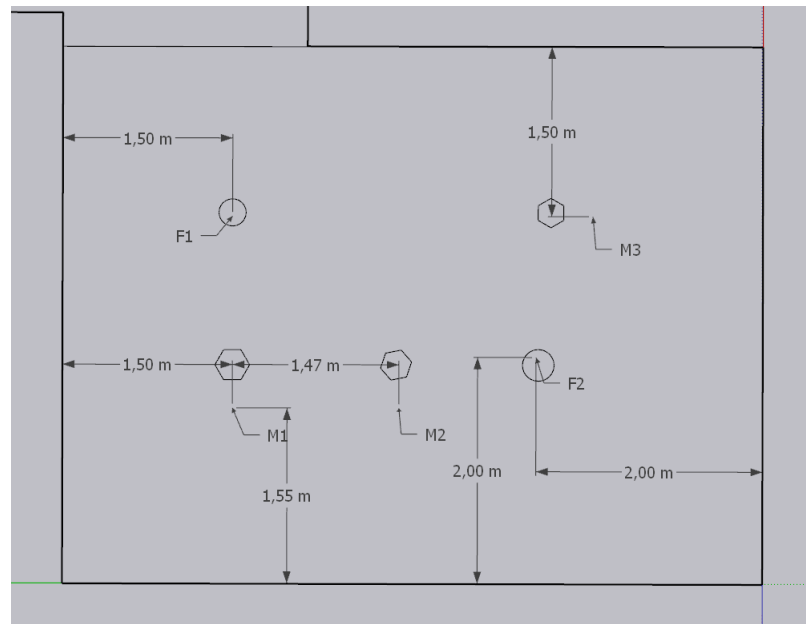


Figura 39: Posiciones de fuente y micrófono para sala de reunión 1

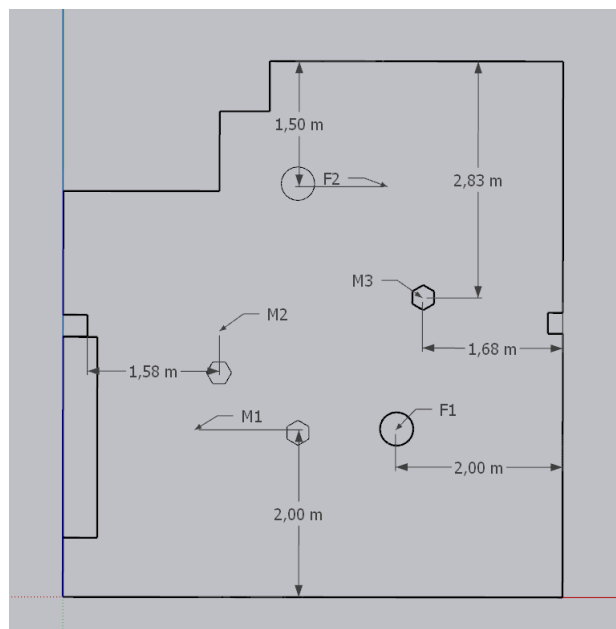


Figura 40: Posiciones de fuente y micrófono para sala de reunión 2

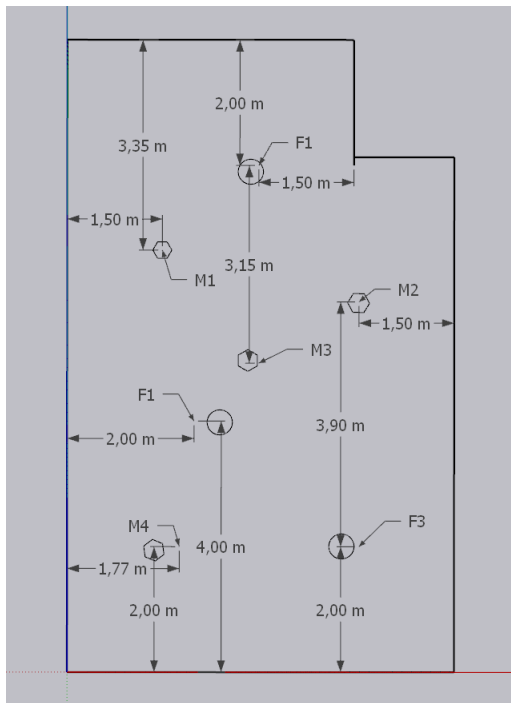


Figura 41: Posiciones de fuente y micrófono para sala de ensayo

#### 14.4 Mediciones de tiempo de reverberación

A continuación se pueden observar los resultados de cada posición de micrófono y fuente de tiempo de reverberación

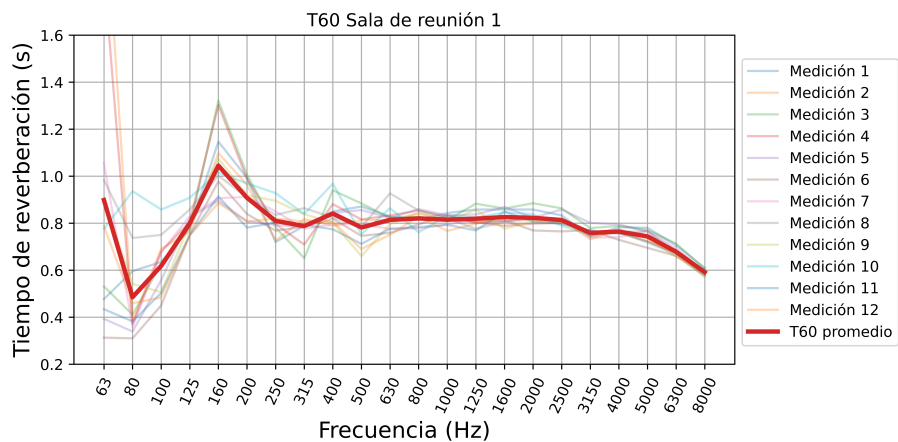


Figura 42:  $T_{60}$  sala de reunión 1

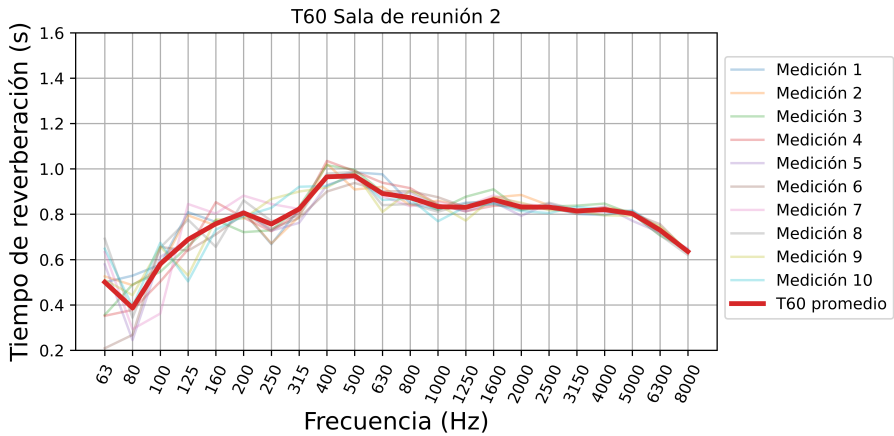


Figura 43:  $T_{60}$  sala de reunión 2

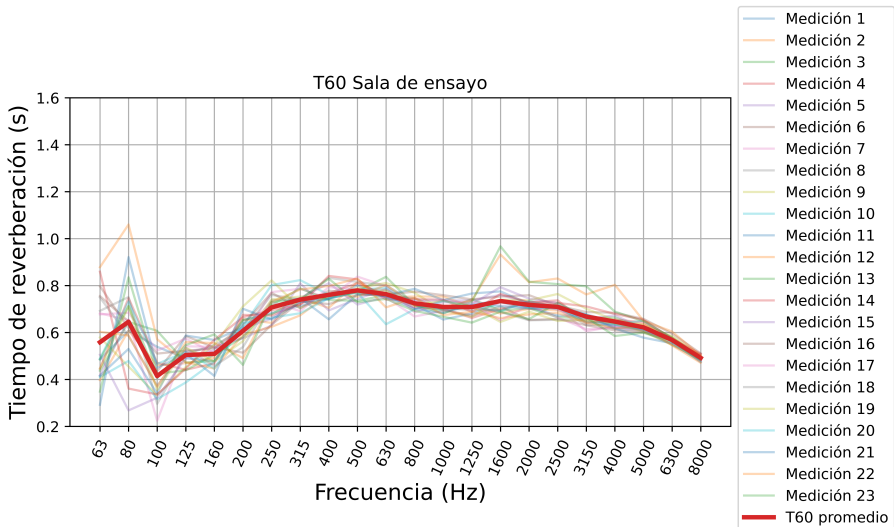
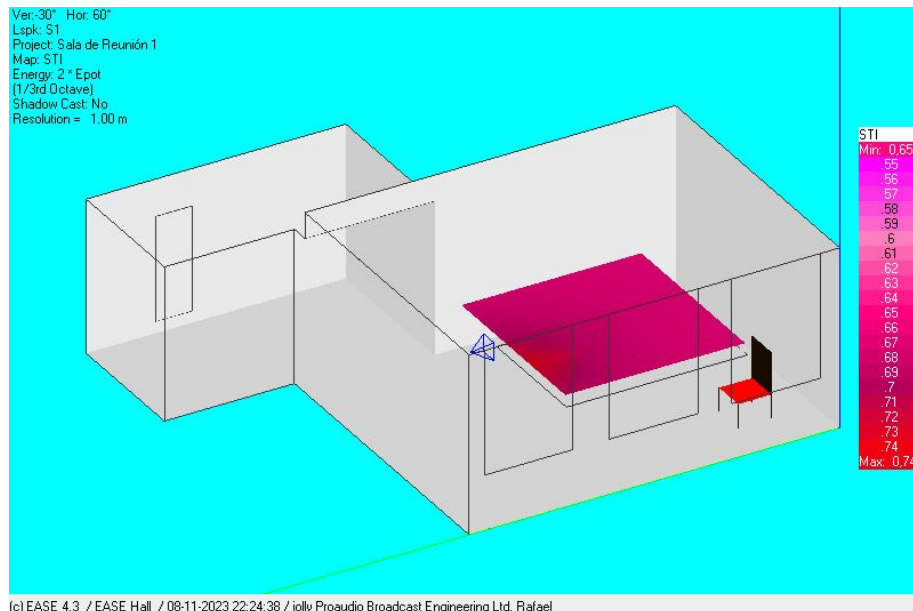


Figura 44:  $T_{60}$  sala de ensayo

## 14.5 STI actual



(c) EASE 4.3 / EASE Hall / 08-11-2023 22:24:38 / jolly Proaudio Broadcast Engineering Ltd. Rafael

Figura 45: *STI* actual de sala de reunión 1

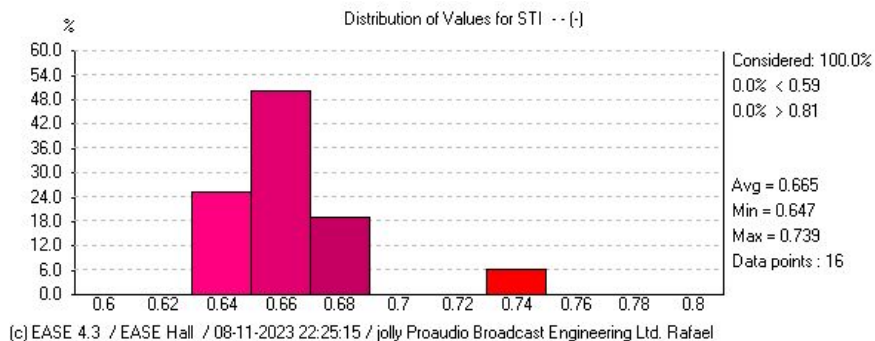


Figura 46: Distribución de *STI* actual en sala de reunión 1

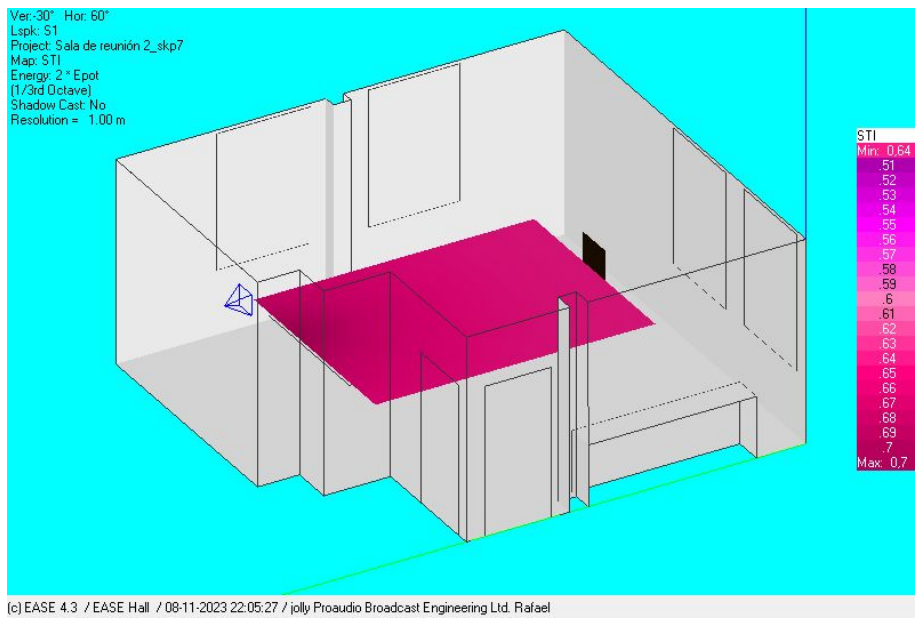


Figura 47: *STI* actual de sala de reunión 2

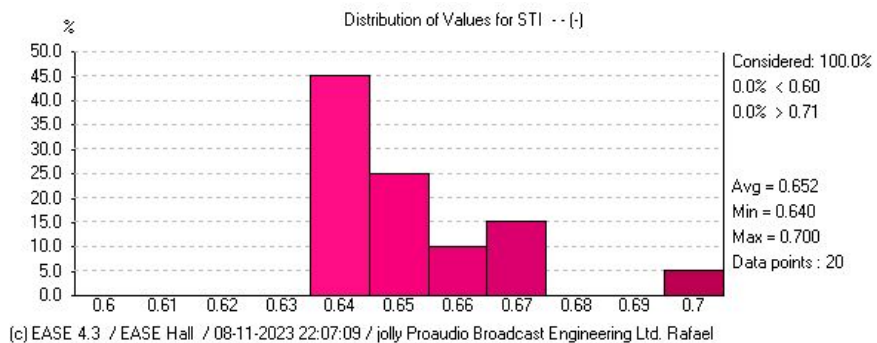


Figura 48: Distribución de *STI* actual en sala de reunión 2

## 14.6 STI de salas de reunión acondicionadas

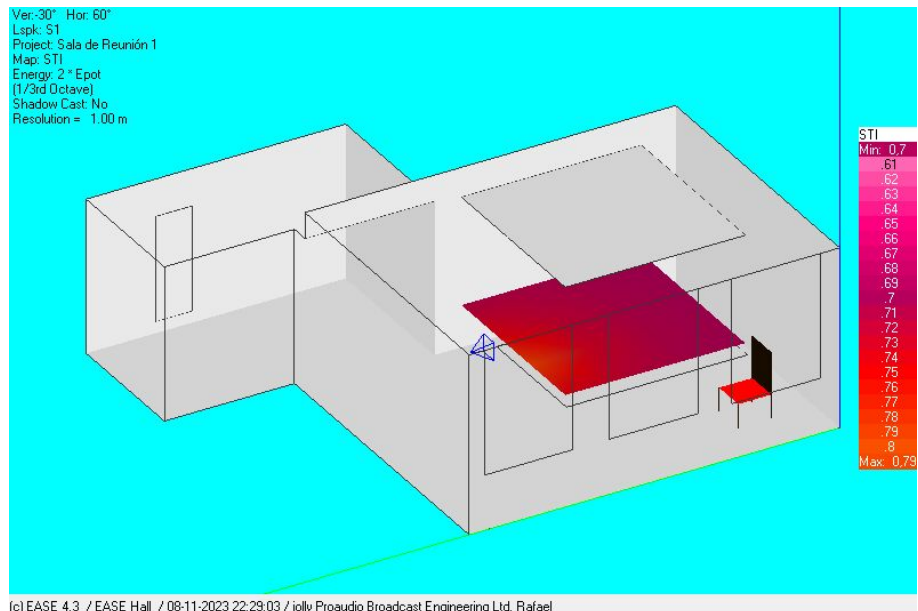


Figura 49: *STI* de sala de reunión 1 acondicionada

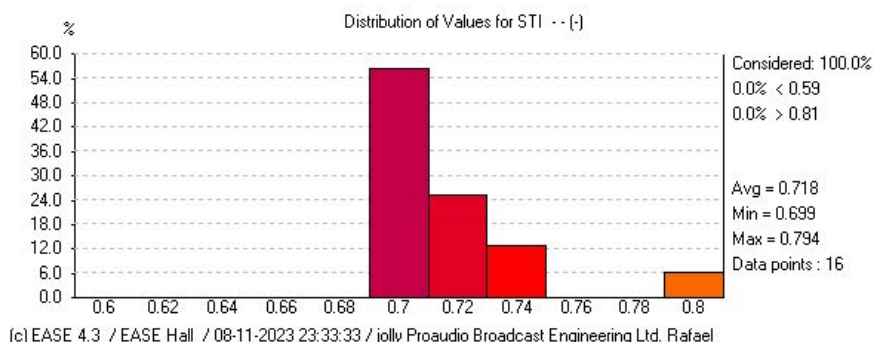


Figura 50: Distribución de *STI* en sala de reunión 1 acondicionada

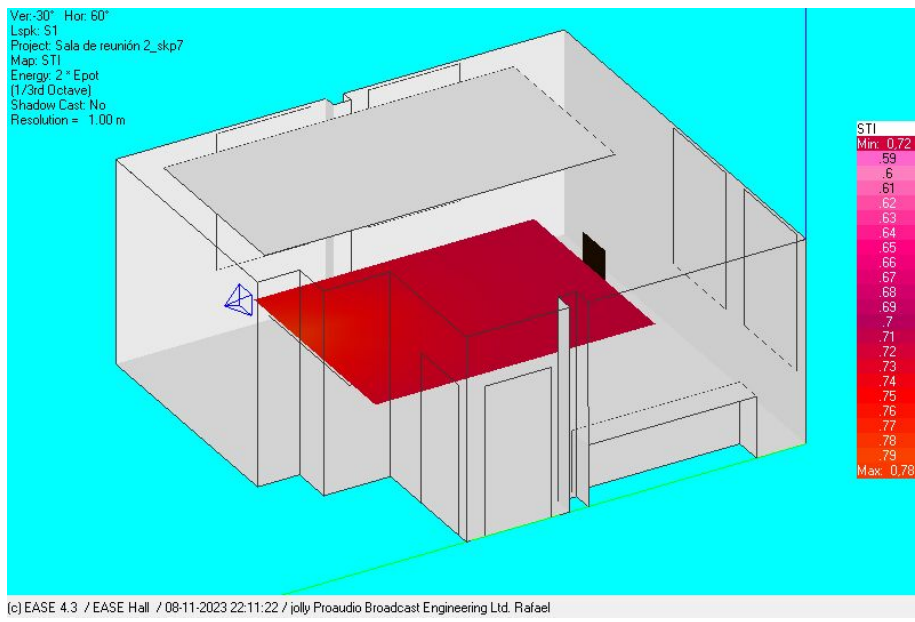


Figura 51: *STI* de sala de reunión 2 acondicionada

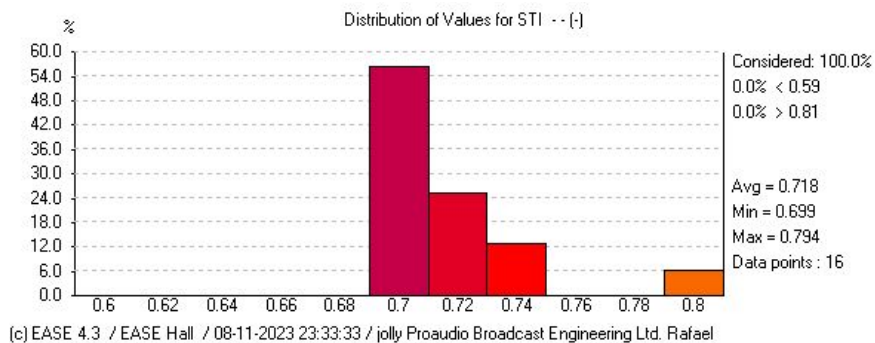


Figura 52: Distribución de *STI* en sala de reunión 2 acondicionada